

Динамическое моделирование земной ионосферы

Останин Павел Антонович

Выпускная квалификационная работа

Научный руководитель: Кулямин Дмитрий Вячеславович

Постановка задачи

Уравнение, описывающее эволюцию ионной концентрации:

$$\begin{aligned} \frac{\partial n_i}{\partial t} = & -\operatorname{div}(n_i \vec{u}_{\parallel}) - \operatorname{div} \left(n_i \frac{1}{B^2} [\vec{E} \times \vec{B}] \right) + \\ & + \operatorname{div} \left(D \left[\nabla_{\parallel} n_i + n_i \frac{1}{T_p} \nabla_{\parallel} T_p - \frac{n_i m_i}{2kT_p} \vec{g}_{\parallel} \right] \right) + [P - k_i n_i] \end{aligned}$$

Используемые приближения:

- Динамическое преобладание амбиполярной диффузии;
- Одноионная постановка, квазинейтральность плазмы;
- Дипольное магнитное поле Земли;
- Приближение совпадения географических и магнитных полюсов;

Входящие в уравнение параметры

Для функций P , k , температур и концентраций N_2 , O_2 и O используются аналитические формулы:

- $$T(z) = T_\infty - (T_\infty - T_0) \exp\left(-\frac{g}{RT_\infty}(z - z_0)\right),$$

$$T_{n\infty} = 800 \text{ K}, T_{i\infty} = 950 \text{ K}, T_{e\infty} = 2200 \text{ K}.$$

- Для концентраций — Больцмановское распределение:

$$n_{O_2, N_2, O}(z) = n_{O_2, N_2, O}(z_0) \cdot \exp\left(-\frac{M_{O_2, N_2, O} g}{R_0 T_n}(z - z_0)\right).$$

На высоте 100 км $n_{O_2} = 5,6 \cdot 10^9 \text{ см}^{-3}$, $n_O = 2,8 \cdot 10^{10} \text{ см}^{-3}$,
 $n_{N_2} = 5,2 \cdot 10^{10} \text{ см}^{-3}$.

- В дневное время $P = 4 \cdot 10^{-7} n_O(z)$;
 $k = 1,2 \cdot 10^{-12} n_{N_2}(z) + 2,1 \cdot 10^{-11} n_{O_2}(z)$

Метод расщепления, три постановки

Первое приближение: диффузия вдоль оси z :

$$\frac{\partial n}{\partial t} = P - kn + \frac{\partial}{\partial z} \left(D \frac{\partial n}{\partial z} + \left(\frac{1}{T_p} \frac{\partial T_p}{\partial z} + \frac{1}{H} \right) n \right)$$

Следующий шаг — учёт широтной зависимости: замена D на $D \sin^2 I$ ($I \approx \arctg(2 \operatorname{tg} \varphi)$):

$$\frac{\partial n}{\partial t} = P - kn + \frac{\partial}{\partial z} \left[D \sin^2 I \left(\frac{\partial n}{\partial z} + \left(\frac{1}{T_p} \frac{\partial T_p}{\partial z} + \frac{1}{H} \right) n \right) \right]$$

Более точный учёт широтной зависимости: z -диффузия в проекции (со смешанной производной):

$$\begin{aligned} \frac{\partial n}{\partial t} = P - kn + \frac{\partial}{\partial z} \left[D \sin^2 I \left(\frac{\partial n}{\partial z} + \left(\frac{1}{T_p} \frac{\partial T_p}{\partial z} + \frac{1}{H} \right) n \right) - \right. \\ \left. - \frac{1}{a} D \sin I \cos I \left(\frac{\partial n}{\partial \varphi} + \frac{1}{T_p} \frac{\partial T_p}{\partial \varphi} n \right) \right] \end{aligned}$$

Требования к схемам и свойства решения

- Концентрация неотрицательна, для сохранения этого свойства используем монотонные схемы;
- Уравнение имеет закон сохранения массы, схемы должны быть консервативны;
- При постоянных P и k уравнение имеет стационарное решение;
- Характерные времена на нижней и верхней границах отличаются на несколько порядков, по времени используем неявные схемы.

Используемые схемы

Для аппроксимации диффузионного слагаемого используется схема

$$\frac{\partial}{\partial z} D \frac{\partial n}{\partial z} \approx \frac{1}{h_{i+1/2}} \left(\frac{D_{i+1/2}(n_{i+1} - n_i)}{h_i} - \frac{D_{i-1/2}(n_i - n_{i-1})}{h_{i-1}} \right)$$

Для одномерного уравнения исследованы следующие схемы:

- В схеме 1 потоковый член и граничное условие аппроксимируются с помощью направленных разностей;
- В схеме 2 потоковый член аппроксимируется центральной разностью, граничное условие — направленной разностью;
- Схема 3 имеет согласованные граничное условие и схему, записанные с помощью центральных разностей.

Для уравнения со смешанной производной вводится

$$u_\varphi = -\frac{1}{a} D \sin l \cos l \frac{1}{n} \frac{\partial n}{\partial \varphi}$$

— нелинейная добавка к эффективной скорости.

Воспроизведение дневного вертикального профиля электронной концентрации

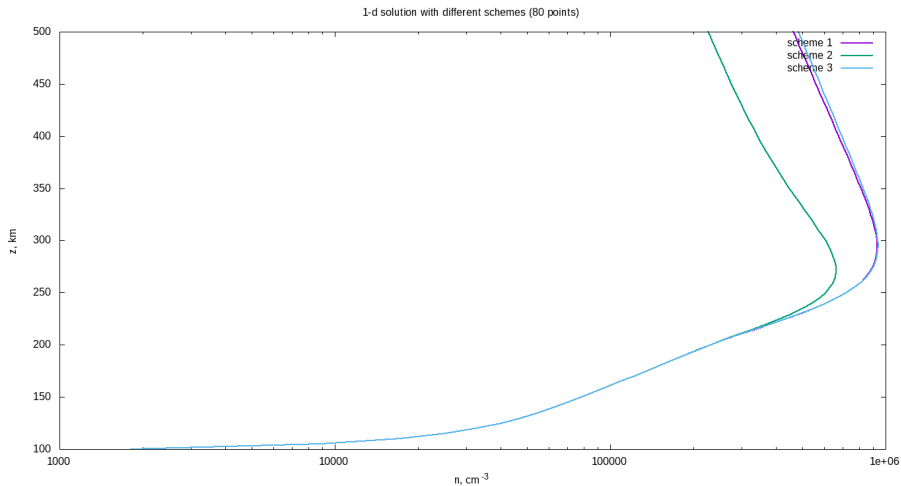


Рис. 1: Стационарные решения на 80 расчётных узлах.

Воспроизведение дневного вертикального профиля электронной концентрации

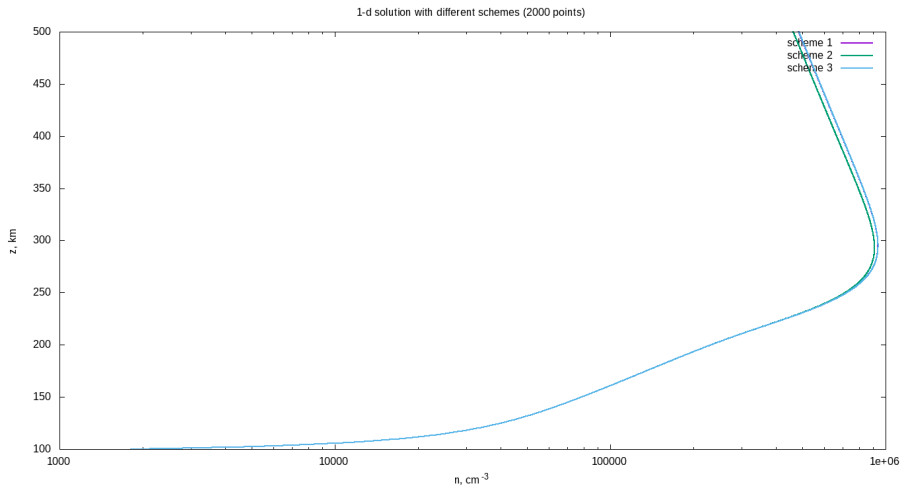


Рис. 2: Стационарные решения на 2000 расчётных узлах.

Чувствительность к изменению внешних параметров

Варьирование входящих в уравнение температур показывает, что наибольшую чувствительность решение имеет к температуре нейтральных молекул.

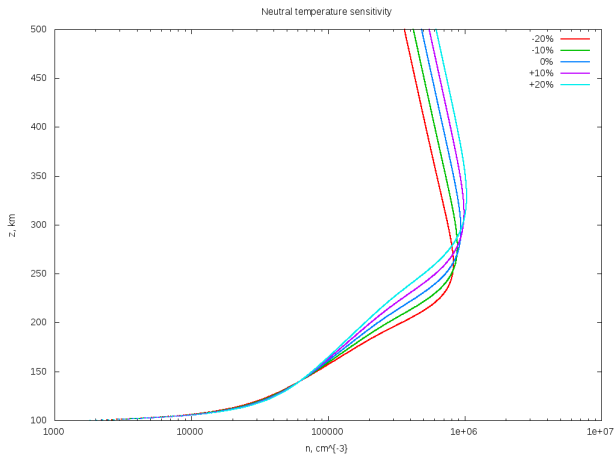
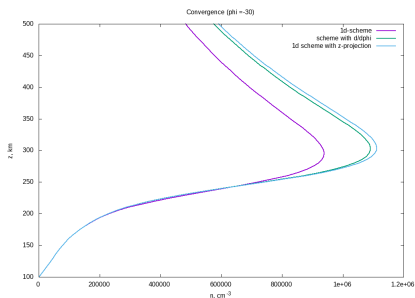


Рис. 3: Чувствительность к изменению температуры нейтральных молекул.

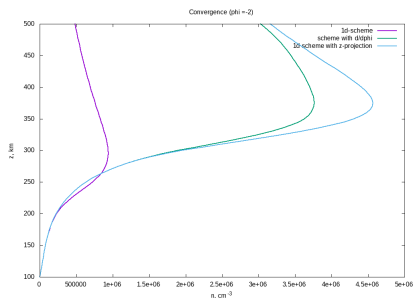
Учёт широтной зависимости

Различные постановки используются для учёта наклона магнитных силовых линий.

Полученные стационарные решения при широтах $\varphi = -30^\circ$ и $\varphi = -2^\circ$:



$$\varphi = -30^\circ.$$



$$\varphi = -2^\circ.$$

Моделирование суточного хода

Вычисляется стационарное решение одномерной задачи при дневном значении $P(z)$, затем итерации по времени продолжаются с меняющимся $P(z, t)$.

Diurnal evolution (1d with projection), $\phi = -30^\circ$

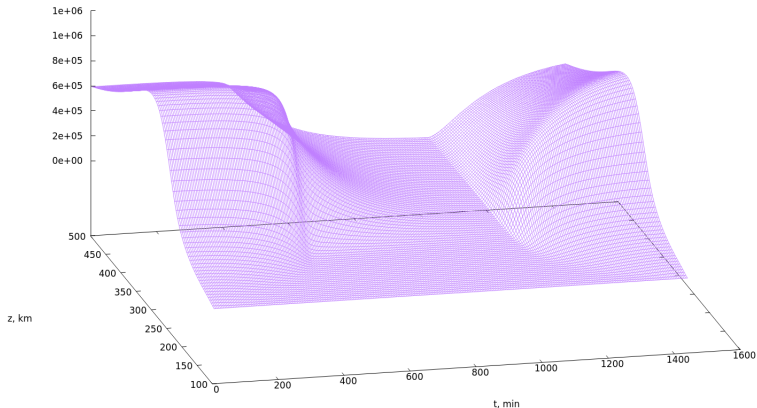


Рис. 4: Суточный ход в одномерной модели с учётом проекции, $\varphi = -30^\circ$.

Список использованной литературы

1. Kulyamin, D. V. and V. P. Dymnikov. A three-dimensional model of general thermospheric circulation. // Russian Journal of Numerical Analysis and Mathematical Modelling. 2013. 28(4): 353-380.
2. Кулямин Д.В., Дымников В.П., Моделирование климата нижней ионосферы. // Известия Российской академии наук. Физика атмосферы и океана, 2015. Т. 51(3): С. 317–337.
3. Schunk, R.W. and A.F. Nagy, IONOSPHERES Physics, Plasma Physics, and Chemistry. 2009, New York, United States: Cambridge University Press.

Спасибо за внимание!